

# روشی جدید برای اندازه‌گیری و اصلاح خطاهای ادومتری در رباتهای سیار

احمد وکیلی

دانشجوی کارشناسی ارشد

دانشکده مهندسی برق، دانشگاه صنعتی امیرکبیر

ابوالقاسم راعی

استادیار

دانشکده مهندسی برق، دانشگاه صنعتی امیرکبیر

مهیار نراقی

استادیار

دانشکده مهندسی مکانیک، دانشگاه صنعتی امیرکبیر

## چکیده

در این مقاله روش جدیدی برای اندازه‌گیری و جبران خطاهای ادومتری، در رباتهای سیار (mobile robots) ارائه می‌شود. ربات مورد بحث، توسط دو چرخ متحرک که بصورت تقاضی (differential drive) عمل می‌کند، هدایت می‌شود. خطاهای مورد بررسی در روش ارائه شده، خطاهای ناشی از نابرابر بودن قطر چرخها، عدم دقیقیت قطر متوسط چرخها و در تعیین فاصله نقاط اتکاء چرخها می‌باشد. با کالیبره کردن ربات و بعبارت دیگر با اندازه‌گیری و اعمال نسبت دقیق قطر چرخها و فاصله دقیق نقاط اتکاء آنها، بصورت نرم‌افزاری دقیقیت روش ادومتری افزایش می‌یابد. روش جدید، نسبت به روش‌های پیشین از سه مزیت اصلی برخوردار است: اولاً آزمایش‌های مورد نیاز آن، با سادگی و سهولت پیشتر قابل انجام است، ثانیاً روابط ارائه شده، برای هر میزان از خطا صادق است که این امر مرهون عدم استفاده از تقریب، در ریاضیات مدل می‌باشد و ثالثاً، روابط دقیقی را نیز برای محاسبه قطر متوسط چرخها بدست میدهد.

## کلمات کلیدی

ربات سیار - خودرو هدایت اتوماتیک - ادومتری - خطاهای سیستماتیک

A. Raie

Assistant Professor

Department of Electrical Engineering,  
Amirkabir University of Technology

A. Vakili

M. Sc. Student

Department of Electrical Engineering,  
Amirkabir University of Technology

M. Naraghi

Assistant Professor

Department of Mechanical Engineering,  
Amirkabir University of Technology

## Abstract

This paper presents a simple and practical method for measurement and compensation of odometry errors. For a typical differential drive mobile robot, the three dominating systematic error sources unequal wheel diameters, imprecise average wheel diameters and the uncertainty about the effective wheel base, are considered. Odometric accuracy of the mobile robot calibrated with this procedure is considerably improved. Calibration coefficients are obtained by accurate measurement of wheel diameter ratios and the effective wheel base, and applied to robot through driver's controller software.

The new method is distinct from previous studies performed in this subject in three aspects:  
- The experimental tests are easily performed.

-The method is valid regardless of error's magnitude, which is direct consequence of mathematics with no approximation in the modeling procedure.

-Accurate relations to determine average wheel diameters that are additional outcome of this method.

## Keywords

Wheeled Mobile Robot, AGV, Odometry, Systematic errors

## مقدمه

### روش ادومتری و کاربرد آن

در اکثر کاربردهای ربات‌های سیار، موقعیت مکانی ربات به دو صورت مطلق و نسبی سنجیده می‌شود. تعیین موقعیت نسبی عموماً مبتنی بر روش ادومتری است، یعنی حرکت نسبی ربات با اندازه‌گیری میزان چرخش چرخها محاسبه می‌شود. در اغلب ربات‌های سیار، ادومتری با استفاده از انکدرهای نوری، جهت اندازه‌گیری میزان چرخش چرخها پیاده‌سازی شده و اطلاعات انکدر برای محاسبه موقعیت ربات از یک نقطه شروع معلوم، مورد استفاده قرار می‌کشد. روش ادومتری، ساده و ارزان است و بسادگی بصورت بهنگام (real time) قابل پیاده‌سازی می‌باشد ولیکن عیب آن انباشته شدن بدون مرز خطاب می‌باشد. بجهت انباشته شدن خطاب، لازم است که پس از طی مسافت‌های کوتاه، در حدود ده متر، خطاب صفر شود. اینکار با استفاده از تمهیدات جانبی مثلاً شناسایی علایم محیطی، که موقعیت مکانی معلوم دارند، صورت می‌پذیرد [۱].

با کاهش خطاهای ادومتری، میتوان مسافت ماموریت‌های ربات، بین دو نقطه با مختصات معلوم را افزایش داد. اگر چه مباحث این مقاله در رابطه با هر ربات سیاری که در آن دو چرخ محرك بصورت تفاضلی وظیفه هدایت را بعهده دارند صادق است ولی نتایج ارائه شده در این مقاله، در رابطه با هدایت ربات ویژه‌ای از این نوع حاصل شده است، که بعنوان نمونه‌ای از کاربرد روش ادومتری معرفی می‌شود. این ربات قرار است که مسیر مشخص شده با سیم حامل جریان را دنبال کرده و در نقاط معین، سیم حامل جریان را ترک کرده و پس از انجام ماموریتی با مسافت کوتاه و با روش ادومتری، بر روی سیم حامل جریان باز گردد. ربات دارای دو درجه آزادی بوده، شامل سه چرخ و بدنه اصلی است. دو چرخ جلو بوسیله موتورهای DC و بطور مستقل تحریک شده و میزان چرخش هر یک با انکدر نوری مجزا اندازه‌گیری می‌شود. چرخ سوم هرزگرد بوده و وظیفه تأمین پایداری را بعهده دارد. در این سیستم موقعیت نسبی به روش ادومتری و موقعیت مطلق با استفاده از سیم حامل جریان تعیین می‌گردد.

### خطاهای روش ادومتری

خطاهای ادومتری را میتوان به دو گروه سیستماتیک و غیر سیستماتیک طبقه بندی نمود. خطاهای سیستماتیک ناشی از نقص در سیستماتیک ربات بوده که نوعاً این نقص در ساخت و پیاده‌سازی مکانیکی رخ میدهد. برخی از این موارد عبارتند از: نامساوی بودن قطر چرخها تفاوت متوسط قطر چرخها با مقدار نامی نامیزان بودن چرخها نسبت بهم نامعین بودن فاصله محل انتکاء دو چرخ بعلت نقطه‌ای نبودن محل تماس محدودیت دقیق اندکر محدودیت فرکانس نمونه برداری عوامل خطاهای غیر سیستماتیک عبارتند از: ناهموار بودن زمین عبور از روی اشیاء یا موانع پیش‌بینی نشده بر روی زمین

سر خوردن بدلایل مختلف مانند سر بودن زمین، شتاب بیش از اندازه و ... خطاهای سیستماتیک از آنرو که بطور دائم انباسته میشوند اهمیت زیادی دارند. در اغلب کاربردهای داخل ساختمان که سطح زمین هموار است، خطاهای سیستماتیک، سهم بیشتری را در خطاهای ادومتری دارند. از بین منابع خطاهای سیستماتیک، دو عامل نایابری قطر چرخها و دقیق نبودن فاصله نقاط اتکاء دو چرخ قابل توجه میباشند و بترتیب با  $E_d$  و  $E_b$  نشان داده میشوند.

اگل رباتهای سیار، از چرخ های بادی لاستیکی استفاده میکنند. ساخت چرخهای لاستیکی با قطرهای یکسان مشکل میباشد و علاوه بر این، بعلت توزیع غیر متقاضن بار، چرخ های لاستیکی در معرض میزان فشردگی متفاوت میباشند. همچنین، دلیل غیر دقیق بودن فاصله نقاط اتکاء، نقطهای نبودن محل تماس آنها با زمین میباشد.

خطای دیگری که بالقوه قابل توجه است،  $E_s$  نامیده میشود و ناشی از تفاوت متوسط قطر واقعی چرخها و مقدار نامی قطر چرخها میباشد [۲].

روابط ۱، ۲ و ۳ بترتیب خطاهای  $E_d$ ،  $E_b$  و  $E_s$  را نشان میدهند. در این روابط،  $D_1$  و  $D_2$  بترتیب قطر واقعی چرخهای راست و چپ،  $b_{act}$  و  $b_{nom}$  بترتیب فاصله واقعی و نامی نقاط تماس دو چرخ با زمین و  $D_{ave}$  و  $D_{nom}$  بترتیب قطر متوسط واقعی و قطر نامی میباشند.

$$E_d = \frac{D_r}{D_1} \quad (1)$$

$$E_b = \frac{b_{act}}{b_{nom}} \quad (2)$$

$$E_s = \frac{D_{ave}}{D_{nom}} \quad (3)$$

## روش UMBmark برای اندازه‌گیری خطاهای ادومتری

اگر از روشهای سعی و خطاب برای جبران خطاهای ادومتری یا کالیبره کردن ربات بگذریم، روش " تست مسیر مربعی بصورت یکطرفه" و "تست مسیر مربعی بصورت دو طرفه" از روشهای مطرح شده در مقالات میباشند. مشاهده و سعی و خطاب، زمان بزر و غیر بهینه میباشد و نامناسب بودن روش "تست مسیر مربعی بصورت یکطرفه" برای رباتهایی که در آنها دو چرخ محرک بصورت تفاضلی وظیفه هدایت را بهمده دارند، در [۲] نشان داده شده است.

در روش "تست مسیر مربعی بصورت دو طرفه" که UMBmark شهرت یافته [۱، ۲، ۳]، دو آزمایش ترتیب داده میشود. در یک آزمایش، ربات برای پیمودن مسیری مربعی شکل به ضلع چهار متر و طی مسیر در جهت عقربههای ساعت برنامه‌ریزی میشود و در آزمایش دیگر، مسیر مربعی شکل در خلاف جهت عقربههای ساعت، پیموده میشود. دو آزمایش از یکدیگر مستقل نبوده و میباشد نسبت به یک دستگاه مختصات انجام شوند. همچنین در این روش فرض میشود که  $E_d = E_b = 1$  است و مقدار دقیق  $D_{ave}$  مثلا با متر کردن مسیر طی شده، به ازاء چند دور دوران چرخها، بدست میآید [۲].

شکل ۱ مسیرهای طی شده در دو آزمایش را با توجه به خطاهای  $E_d$  و  $E_b$  نشان میدهد. برای واضح شدن موضوع، خطاهای اغراق آمیز در نظر گرفته شده‌اند. در هر دو آزمایش نقطه S نقطه شروع حرکت و یک راس از مربع میباشد. اولین ضلع مسیر، در هر دو آزمایش، بموازات محور X و در جهت مثبت آن برنامه‌ریزی شده است. نقاط  $E_1$  و  $E_2$  نقاط توقف ربات پس از پیمودن مسیر برنامه‌ریزی شده در دو آزمایش میباشند. اگر مختصات نقطه  $E_1$  و  $E_2$  را بترتیب  $(X_{cw}, Y_{cw})$  و  $(X_{ccw}, Y_{ccw})$  بنامیم، زوایای  $\alpha$  و  $\beta$  در شکل ۱ از روابط ۴ و ۵ بدست میآیند.

$$\alpha = \frac{X_{cw} + X_{ccw}}{-4L} \frac{180}{\pi} \quad (4)$$

$$\beta = \frac{X_{cw} - X_{ccw}}{-4L} \frac{180}{\pi} \quad (5)$$

$$R = \frac{\frac{L}{2}}{\sin(\frac{\beta}{2})} \quad (6)$$

$$E_b = \frac{b_{act}}{b_{nom}} = \frac{90}{90 - \alpha} \quad (7)$$

$$E_d = \frac{D_r}{D_l} = \frac{R + \frac{b_{act}}{2}}{R - \frac{b_{act}}{2}} \quad (8)$$

رابطه ۶ شاعع انحناء مسیر و روابط ۷ و ۸ نحوه محاسبه خطاهای سیستماتیک را نشان میدهند. برای کاهش اثر خطاهای غیر سیستماتیک در آزمایشها، توصیه میشود که هر آزمایش پنج بار تکرار شود و از مختصات نقاط انتهایی آنها میانگین گرفته شود، و مقادیر میانگین در روابط ۴ و ۵ استفاده شوند.

## روش جدید AKUBmark (Amir Kabir University Benchmark) برای اصلاح خطاهای ادومتری

### تعاریف لازم

در این قسمت، پیش از بیان روش جدید و آزمایشها و محاسبات مربوط به آن، تعاریف مورد نیاز ارائه می شوند. در اینجا نیز  $E_s$ ،  $E_b$  و  $E_d$  بر طبق روابط ۱ و ۲ و ۳ مورد استفاده قرار خواهند گرفت. سه زاویه  $\alpha$  و  $\beta$  و  $\theta$  در سه آزمایش فرضی تعریف شده و استفاده خواهند شد. لازم به تأکید است که زوایای  $\alpha$  و  $\beta$  در این بخش تعاریف متفاوتی با  $\alpha$  و  $\beta$  تعریف شده در بخش قبل دارند. همچنین قابل ذکر است که وجود فقط خطای  $E_b$ ، یعنی  $E_b = E_d = 1$  و  $E_s = E_d = 1$  باعث خطا در میزان چرخش برنامه ریزی شده میشود و مسیر مستقیم الخط برنامه ریزی شده بدون انحنا طی میشود. وجود فقط خطای  $E_d$ ، یعنی  $E_s = E_b = 1$  و  $E_d = 1$  باعث انحنا در مسیر مستقیم الخط برنامه ریزی شده میشود و میزان چرخش برنامه ریزی شده، بدستی انجام میشود. و بالاخره وجود خطای فقط در  $E_s$ ، یعنی  $E_b = E_d = 1$  و  $E_s = E_d = 1$  باعث خطا در میزان چرخش و مسافت برنامه ریزی شده میگردد و مسیر مستقیم الخط برنامه ریزی شده بدون انحناء طی میشود. برای بیان دقیق تر ارتباط  $\alpha$  و  $\beta$  با  $E_s$ ،  $E_b$  و  $E_d$ ، در ادامه سه آزمایش فرضی مطرح می شوند.

برای مشاهده اثر  $E_d$  بطور مستقل، فرض میکنیم که ربات را برای حرکت مسیر مستقیم الخط رفت و برگشت و براساس پارامترهای  $D_{nom}$  و  $b_{nom}$  برنامه ریزی کرده باشیم. در این برنامه ریزی، امتداد حرکت را دلخواه، مسافت رفت و برگشت را مساوی و زاویه چرخش ربات را  $\pi$  اختیار میکنیم. اگر  $E_s = E_b = 1$  فرض شود و در آزمون تجربی، نقطه شروع را  $A_1$ ، نقطه مقصد را  $B_1$  و نقطه برگشت را  $C_1$  نام گذاری کنیم، شکل ۲ اثر خطای  $E_d$  را نشان میدهد. در این شکل  $\beta$  زاویه اندازه گیری شده  $E_d = \frac{D_r}{D_l}$  در جهت مثلثاتی یعنی از  $A_1$  به  $C_1$  و علامت دار میباشد. بدیهی است که  $0 < \beta < 1$  معنی  $E_d = \frac{D_r}{D_l} > 1$  دارد.  $E_s = E_b = 1$  معنی  $E_d = \frac{D_r}{D_l} = 1$  فرض میباشد. همچنین بدیهی است که چون  $E_d = \frac{D_r}{D_l} = 1$  فرض

شده است، دور زدن ربات برای برگشت، چه در جهت عقربه های ساعت یا خلاف آن، اثری بر مقدار اندازه گیری شده و علامت  $\beta$  ندارد.

برای مشاهده اثر  $E_b$  بطور مستقل، برنامه ریزی و آزمون قبلی را تکرار میکنیم. با فرض اینکه  $E_s = E_d = 1$  باشد، و نقاط شروع، مقصد و برگشت در آزمون بترتیب  $A_2$ ،  $B_2$  و  $C_2$  نامگذاری شوند، شکل ۳ مسیر طی شده و اثر خطای  $E_b$  را نشان میدهد. توجه شود که در این آزمون دور زدن ربات در نقطه  $B_2$  در جهت عقربه های ساعت انجام میشود و زاویه  $\angle A_2 B_2 C_2$  در جهت مثلثاتی، از  $A_2$  به  $C_2$  و علامت دار بوده و  $\alpha$  نامیده میشود. با توجه به اثر  $E_b = \frac{b_{act}}{b_{nom}}$  بر زاویه چرخش در نقطه  $B_2$ ، به این نتیجه میرسیم که  $\alpha > 0$  معنی  $E_b = 1$  و  $\alpha < 0$  معنی  $E_b < 1$  خواهد بود. همچنین بدیهی است که در صورتی که دور زدن ربات در خلاف جهت عقربه های ساعت باشد، زاویه اندازه گیری شده، برابر  $-\alpha$  خواهد شد.

برای مشاهده اثر  $E_s$  بطور مستقل، فرض بگیرید که  $E_s = E_d = 1$  است و آزمایش رفت و برگشت و دوران به اندازه  $\pi$  در جهت عقربه های ساعت تکرار شود. در اینصورت اولاً مسیر رفت و برگشت بطور مستقیم طی میشود. ثانیاً بجای  $N_1 \times \pi \times D_{act}$  مسافت  $N_1 \times \pi \times D_{nom}$  طی میشود که در آن  $N_1$  تعداد دورهای برنامه ریزی شده برای طی مسافت است. ثالثاً میزان دوران بجای  $\pi$  برابر  $\theta - \pi$  خواهد بود که در آن  $0 = \theta$  معنی  $E_s = 1$  و  $0 > \theta$  معنی  $E_s < 1$  خواهد بود. شکل ۴ اثر  $E_s$  را نشان میدهد. باز هم زاویه  $\theta$  علامت دار است و از  $A_3$  به  $C_3$  با  $E_s = \frac{D_{act}}{D_{nom}}$   $< 0$  معنی  $\theta$  خواهد بود. در جهت مثلثاتی اندازه گیری میشود. بدیهی است که با دور زدن در خلاف جهت عقربه های ساعت  $\theta - \pi$  اندازه گیری خواهد شد.

## آزمایشها لازم

روش جدید پیشنهادی، مبتنی بر انجام دو آزمایش مستقل میباشد و ربات مورد آزمایش میتواند هر سه نوع خطای  $E_s$ ،  $E_d$  و  $E_b$  را در بر داشته باشد. در هر دو آزمایش، ربات بر اساس پارامترهای  $D_{nom}$  و  $b_{nom}$  و برای رفت و برگشت مستقیم الخط و در امتداد و مسافت دلخواه مثلاً  $N_1 \times \pi \times D_{nom}$  که در آن  $N_1$  تعداد دور زدن چرخها برای طی مسافت است، برنامه ریزی میشود، و لیکن در آزمایش اول دور زدن برای برگشت در جهت عقربه های ساعت و به اندازه  $\pi$  و در آزمایش دوم دور زدن در خلاف جهت عقربه های ساعت و به اندازه  $\pi$  برنامه ریزی میشود. نقاط شروع، مقصد و نقطه برگشت در دو آزمایش را بترتیب  $\{A_4, B_4, C_4\}$  و  $\{A_5, B_5, C_5\}$  و زوایای  $\angle A_4 B_4 C_4$  و زوایای  $\gamma_1$  و  $\gamma_2$  مینامیم. زوایای  $\gamma_1$  و  $\gamma_2$  علامت دار بوده، در جهت  $A_4$  به  $C_4$  و  $A_5$  به  $C_5$  اندازه گیری میشوند و در جهت مثلثاتی مثبت و در خلاف آن منفی محسوب خواهند شد. شکل ۵ نمونه ای از مسیر طی شده، برای رباتی که در آن  $1 < E_s < 1$  و  $1 < E_d < 1$  است را نشان میدهد..

با توجه به آزمایشها فرضی و تعاریف انجام شده در قسمت قبل، اگر اثر  $E_s$ ،  $E_d$  و  $E_b$  را بترتیب با  $\theta$ ،  $\alpha$  و  $\beta$  نشان دهیم، میدانیم که در دو آزمایش علامت  $\beta$  عوض نمیشود ولیکن علامتها  $\theta$  و  $\alpha$  هر دو عوض نمیشوند و رابطه ۹ برقرار خواهد بود.

$$\gamma_1 = \beta + (\alpha + \theta), \quad \gamma_2 = \beta - (\alpha + \theta) \quad (9)$$

بدیهی است که با اندازه گیری فاصله رئوس، در مثلثاتی  $A_5 B_5 C_5$  و  $A_4 B_4 C_4$  و روابط ساده مثلثاتی،  $\gamma_1$  و  $\gamma_2$  قابل تعیین میباشند و البته برای کاهش اثر خطاهای اندازه گیری و کاهش اثر خطاهای غیر سیستماتیک، میتوان هر آزمایش را چند بار تکرار و  $\gamma_1$  متوسط و  $\gamma_2$  متوسط را مبنای محاسبه  $\alpha + \theta$  و  $\beta$  بر طبق روابط ۱۰ و ۱۱ قرار داد.

$$\beta = \frac{(\gamma_1 + \gamma_2)}{2} \quad (10)$$

$$\alpha + \theta = \frac{(\gamma_1 - \gamma_2)}{2} \quad (11)$$

### محاسبه خطاهای $E_d$ و $E_b$ , $E_s$

با انجام آزمایش‌های مذکور در بخش قبل و محاسبه  $\alpha + \theta$  و  $\beta$  و اندازه‌گیری  $M$ ، مقادیر  $E_d$ ,  $E_b$  و  $E_s$  قابل محاسبه خواهد بود.

برای محاسبه  $E_s$ ، میدانیم که مسافت برنامه‌ریزی شده  $N_1 \times \pi \times D_{nom}$  بوده است اما مسافت واقعی طی شده  $N_1 \times \pi \times D_{act}$  میباشد. در صورتیکه  $\beta = 0$  باشد مسافت واقعی طی شده مستقیم الخط و همان  $M$  اندازه گیری شده میباشد و در صورتیکه  $\beta \neq 0$  باشد، مسافت طی شده قوسی به شعاع  $R$  و با زاویه  $\beta$  رادیان میباشد. لذا  $E_s$  برای  $\beta = 0$  از رابطه ۱۲ و برای  $\beta \neq 0$  از رابطه ۱۳ محاسبه خواهد شد.

$$E_s = \frac{D_{act}}{D_{nom}} = \frac{N_1 \times \pi \times D_{act}}{N_1 \times \pi \times D_{nom}} = \frac{M}{N_1 \times \pi \times D_{nom}} \quad (12)$$

$$E_s = \frac{|\beta| \times R}{N_1 \times \pi \times D_{nom}} \quad (13)$$

در این روابط  $N_1$  و  $D_{nom}$  را میدانیم،  $\beta$  از رابطه ۱۰ بدست می‌آید،  $M$  اندازه‌گیری می‌شود و  $R$  از رابطه ۲۱ و بر اساس توضیحات بعدی محاسبه می‌شود.

از طرف دیگر برنامه‌ریزی برای دور زدن به اندازه  $\pi$ ، بر اساس  $D_{nom}$  و  $b_{nom}$  صورت گرفته است و میبایست دو چرخ در خلاف جهت یکدیگر و برای طی مسافت  $I_1 = \frac{\pi \times b_{nom}}{2}$  برنامه‌ریزی شوند، که در آن  $N_2$  تعداد دور لازم برای هر چرخ میباشد و  $I_1$  مسافتی است که برای طی کردن نیم دایره‌ای به قطر  $b_{nom}$  لازم است. ولیکن در عمل بجای  $I_1$ ، مسافت  $I_2 = \pi \times N_2 \times D_{act} = \pi \times N_2 \times D_{act}$  طی خواهد شد و با توجه به شکل ۴ روابط ۱۵، ۱۶ و ۱۷ را خواهیم داشت.

$$I_2 = \pi \times N_2 \times D_{act} = \frac{(\pi - \theta) b_{nom}}{2} \quad (14)$$

$$E_s = \frac{I_2}{I_1} = \frac{\pi \times N_2 \times D_{act}}{\pi \times N_2 \times D_{nom}} = \frac{\pi - \theta}{\pi} \quad (15)$$

$$\theta = \pi(1 - E_s) \quad (16)$$

همانطور که ملاحظه می‌شود  $\theta$  بر حسب  $E_s$  محاسبه می‌شود و  $E_s$  از رابطه ۱۲ یا ۱۳ بدست می‌آید. توجه شود که  $\theta$  علامت‌دار است و همان روابط  $I_1 < 0 \Rightarrow E_s = 1$ ،  $\theta > 0 \Rightarrow E_s < 1$  و  $\theta = 0 \Rightarrow E_s = 0$  برقرار می‌باشند. حال  $E_b$  را مورد توجه قرار میدهیم. مسافت واقعی طی شده برای دوران یعنی  $I_2$  بجای اینکه کمانی با زاویه  $\pi - \theta$  از دایره‌ای بقطر  $b_{nom}$  را طی کند، زاویه‌ای به میزان  $\pi - \theta - \alpha$  از دایره‌ای به قطر  $b_{act}$  را طی خواهد کرد و لذا روابط ۱۷ و ۱۸ برقرار می‌باشند.

$$l_2 = \frac{(\pi - \theta) \times b_{nom}}{2} = \frac{(\pi - \theta - \alpha) \times b_{act}}{2} \quad (17)$$

$$E_b = \frac{b_{act}}{b_{nom}} = \frac{\pi - \theta}{\pi - \theta - \alpha} = \frac{\pi - \theta}{\pi - (\theta + \alpha)}$$

$$b_{act} = E_b \times b_{nom}$$

توجه شود که  $\alpha$  و  $\theta$  در رابطه ۱۸ علامت دار هستند،  $\theta$  از رابطه ۱۶ و  $\alpha + \theta$  از رابطه ۱۱ بدست می‌آیند و همان روابط  $1 < E_b < 1$  ،  $\alpha = 0 \Rightarrow E_b = 1$  ،  $\alpha > 0 \Rightarrow E_b > 1$  بر قرار می‌باشند.

برای محاسبه  $E_d$  بر حسب  $\beta$  و  $b_{act}$  که از روابط ۱۰ و ۱۸ بدست می‌آیند، شکل ۶ را در نظر می‌گیریم. این شکل با خطای اغراق آمیز کشیده شده است. در اینجا فرض بر اینست که  $E_s = E_b = 1$  می‌باشد و روابط نشان داده شده در شکل ۶، برای هر دو شکل ۲alf و ۲b صادق است. بعارت دیگر در این شکل رابطه قطر دو چرخ، شاع دوران و رئوس مثلث، مبدأ، مقصد و نقطه برگشت نشان داده شده است.  $M$  مسافت اندازه‌گیری شده بین  $A_4$  و  $B_5$  در هر یک از دو شکل ۵ alf یا ۵b می‌تواند اختیار شود.  $\beta$  از نتیجه دو آزمایش و رابطه ۱۰ بدست آمده است.  $N$  با استفاده از رابطه ۱۹ قابل محاسبه است. رابطه ۲۰ از تشابه مثلثها در قسمت بالای شکل ۶ یعنی مثلثهای  $OB_1C_1$  و  $A_1B_1C_1$  بدست می‌آید و از آن شاع دوران  $R$  طبق رابطه ۲۱ محاسبه می‌شود. رابطه ۲۲ از شکل ۶ و تشابه مثلثها بدست می‌آید. نسبت قطر دو چرخ کوچک به بزرگ از رابطه ۲۳ بدست می‌آید. توجه شود که  $E_d = \frac{D_r}{D_l}$  تعریف شده است، در صورتیکه  $E$  نسبت قطر کوچک به بزرگ است. پس اگر  $\beta \leq 0$  باشد  $E_d = E$  و در صورتیکه  $\beta \geq 0$  باشد  $E_d = \frac{1}{E}$  خواهد بود.

$$N = 2M \times |\sin(\frac{\beta}{2})| \quad (19)$$

$$\frac{R}{(M/2)} = \frac{M}{(N/2)} \quad (20)$$

$$R = \frac{M^2}{N} \quad (21)$$

$$\frac{D_2}{D_1} = \frac{R - \frac{b_{act}}{2}}{R + \frac{b_{act}}{2}} \quad (22)$$

$$E = \frac{D_2}{D_1} = \frac{2 \times M^2 - N \times b_{act}}{2 \times M^2 + N \times b_{act}} \quad (23)$$

## ارزیابی روش جدید AKUBmark

مزایای اصلی روش جدید را نسبت به روش UMBmark می‌توان در سهولت بیشتر انجام آزمایش‌های پیشنهادی، دقیقیت روابط جدید استنتاج شده و محاسبه  $E_s$  خلاصه نمود. در روش UMBmark، یک دستگاه مختصات برای برنامه ریزی ربات لازم می‌باشد و دو مسیر مربعی می‌بایست در امتداد

محورهای آن برنامه‌ریزی شوند. مشکل بزرگ در این زمینه، انجام آزمایش‌های مربوطه است که در آنها می‌بایست ربات را در نقطه شروع با دقت بالایی در امتداد اولیه  $x$  تنظیم نمود و این کار اگر چه غیر ممکن نیست ولی بسیار مشکل است. همچنین در انجام آزمایش‌ها، سطح وسیعی بر روی زمین و با ویژگیهای خاص، مورد نیاز است. از طرف دیگر روابط پیشنهادی در روش UMBmark مبتنی بر این فرض است که خطاهای بسیار کوچک بوده و  $E_s = 1$  است. تقریب‌هایی که در استنتاج روابط برای توابع مثلثاتی بکار رفته است، باعث می‌شود که برای خطاهای نه چندان غیر معقول، روش UMBmark بلاستفاده شود.

همچنین فرض  $E_s = 1$ ، چندان قابل قبول نیست، زیرا بدلاً لائل مشابهی که برای  $E_d$  ذکر شده است،  $E_s$  نیز میتواند مخالف یک باشد. اندازه‌گیری  $D_{act}$  با متراز مسافت طی شده نیز، بعلت احتمال قوسی بودن مسیر با دقت کامل قابل انجام نمی‌باشد.

در مقایسه، روش پیشنهادی AKUBmark، دو آزمایش ساده و مستقل را می‌طلبد. برنامه ریزی ربات شامل رفت و برگشت مستقیم الخط و در امتداد دلخواه در هر آزمایش می‌باشد. روابط بدست آمده، بدون اعمال هیچگونه تقریبی استنتاج شده‌اند و لذا برای خطاهای بزرگ نیز، صادق بوده و همچنین برای  $E_s$  نیز روابط دقیق داده شده است.

با توجه به موارد فوق الذکر، شاید مقایسه نتایج دو روش چندان لزومی نداشته باشد، در عین حال برای آزمون روشها و درستی و میزان دقت آنها، جدول ۱، بكمک شبیه‌سازی تولید شده است. شبیه ساز نوشته شده، رفتار رباتی را که با روش ادومتری هدایت می‌شود، شبیه سازی می‌کند. قطر واقعی چرخها و فاصله نقطه اثر آنها بصورت پارامتر داده شده و برای طی مسیر معینی با  $b_{nom}$  و  $D_{act}$  برنامه ریزی می‌شود. حالت‌های مختلف با  $E_d \neq 1$ ،  $E_b \neq 1$ ،  $E_s \neq 1$  و  $E_d \neq E_b$  و نتایج حاصله از دو روش در جدول ۱ آمده است. در محاسبات  $D_{act} = \frac{D_{r(act)} + D_{l(act)}}{2}$  منظور شده است. بدینهی است که عدم دقت کامل در نتایج روش AKUBmark ناشی از مدل و تقریب در روابط نیست، بلکه بعلت محدودیت دقت در محاسبات عددی می‌باشد.

## سخن پایانی

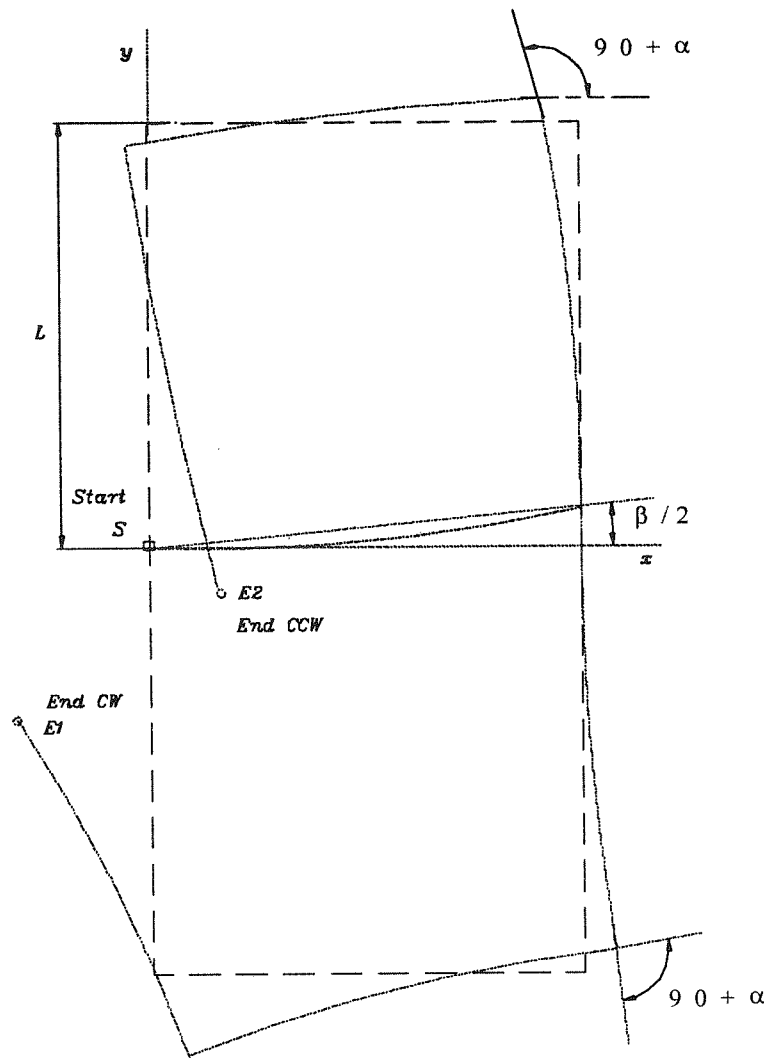
این مقاله روش جدیدی را برای اندازه‌گیری و جبران خطاهای ادومتری در رباتهای سیار، پیشنهاد می‌کند. روش پیشنهادی برای رباتهایی که در آن دو چرخ محرک بصورت تفاضلی (differential-drive mobile robots) وظیفه هدایت ربات را بعهده دارند قابل استفاده است. خطاهایی که در این روش مورد توجه قرار می‌گیرند، خطاهای ناشی از نسبت قطر دو چرخ  $E_d = \frac{D_r}{D_l}$ ، عدم قطعیت در فاصله نقطه اتکاء دو چرخ  $E_b = \frac{b_{act}}{b_{nom}}$  و اندازه متوسط قطر چرخها  $E_s = 1$  می‌باشند. علت توجه به این خطاهای اینست که تولید فرامین و هدایت ربات، نوعاً مبتنی بر  $E_d = 1$ ،  $E_b = 1$  و  $E_s = 1$  صورت می‌گیرد. حال آنکه بدليل عدم تطابق تحلیل تئوریک سینماتیکی با آنچه در عمل ساخته می‌شود عملاً این روابط برقرار نمی‌باشند. همچنین می‌توان مشاهده کرد که انحرافات کوچک  $E_d$ ،  $E_b$  و  $E_s$  از یک، می‌تواند منجر به تفاوت فاحش بین مسیر برنامه‌ریزی و مسیر طی شده شود. با اندازه‌گیری دقیق  $E_d$ ،  $E_b$  و  $E_s$ ، اولاً از خطاهای مکانیکی آگاه می‌شویم و ثانیاً برای جبران آن به صورت نرم افزاری اقدام کرده و بعبارت دیگر ربات را کالیبره می‌کنیم.

تا به امروز کارآترین روش پیشنهاد شده برای اندازه‌گیری و جبران خطاهای  $E_d$  و  $E_b$ ، روش موسوم به UMBmark می‌باشد. در این روش، ربات برای پیمودن مسیر مربوعی شکل، به ضلع چهار متر و در دو جهت عقربه‌های ساعت و خلاف آن برنامه‌ریزی شده و با اندازه‌گیری خطاهای نقاط انتهایی،  $E_d$  و  $E_b$  محاسبه می‌شوند. در این روش تنظیم ربات در یک امتداد اولیه ضروری بوده و تنظیم دقیق آن اگر چه ممکن، ولی مشکل می‌باشد. همچنین روابط ارائه شده با اعمال تقریبهای محاسباتی استنتاج شده‌اند و فقط برای انحراف‌های بسیار کوچک  $E_d$  و  $E_b$  از یک قابل استفاده می‌باشند. همچنین در این روش  $E_s = 1$  فرض شده است.

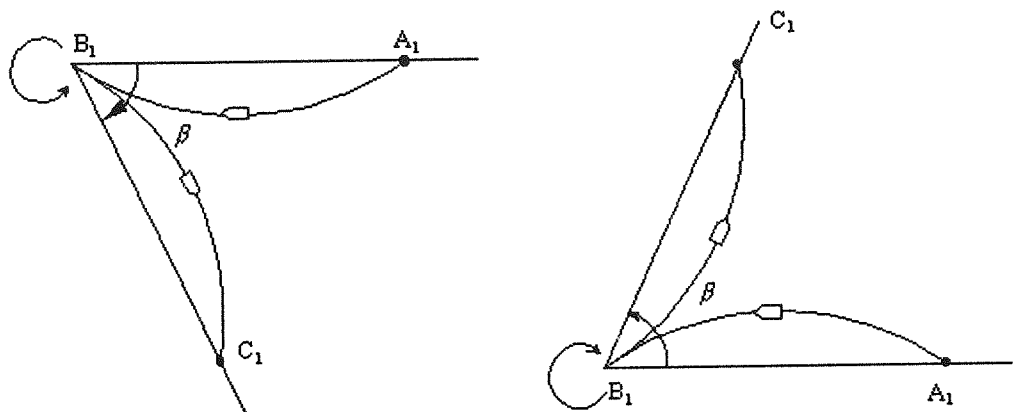
روش پیشنهادی این مقاله که آنرا AKUBmark نامیده‌ایم، مبتنی بر دو آزمایش ساده و مستقل از یکدیگر می‌باشد. ربات برای رفت و برگشت مستقیم الخط و در امتداد دلخواه برنامه‌ریزی می‌شود. در یک آزمایش برای برگشت در جهت عقربه‌های ساعت و در آزمایش دوم در خلاف جهت عقربه‌های ساعت دور می‌زند. فاصله نقاط شروع، مقصود و برگشت اندازه‌گیری شده و  $E_d$ ،  $E_b$  و  $E_s$  با روابط دقیق و بدون تقریب از این اندازه‌گیری‌ها بدست می‌آیند. بنابراین در مجموع، آزمایش‌های سهل‌تر و روابط دقیقی که برای هر مقدار از خطای  $E_d$ ،  $E_b$  و  $E_s$  صادق است، محصول جدید این مقاله می‌باشد.

جدول(۱) مقایسه عملکرد AKUBmark و UMBmark

$D_r$	$D_I$	$D_{ave\ (no)}$	$b_{act}$	$b_{no}$	$E_{s(act)}$	$E_{s(AKUB)}$	$E_{b(act)}$	$E_{b(UMB)}$	$E_{b(AKUB)}$	$E_{d(act)}$	$E_{d(UMB)}$	$E_{d(AKUB)}$
.311	.309	.31	.505	.5	1	.9997	1.01	1.0146	1.0100	.99356	.99312	.99355
.312	.308	.31	.51	.5	1	.9997	1.02	1.03	1.0197	.9871	.9852	.9872
.312	.308	.31	.49	.5	1	.9999	.98	.9989	.9799	.98717	.98884	.97727
.31	.31	.314	.5	.5	.9872	.9873	1	1.0132	1.000	1	.9999	.9999
.312	.308	.306	.49	.5	1.0130	1.0128	.98	.9884	.9798	.9871	.9899	.9872
.315	.305	.315	.51	.5	.9841	.9840	1.02	1.14	1.0199	.9682	.9604	.9685
.32	.3	.305	.53	.5	1.0163	1.0153	1.06	1.46	1.0589	.9375	.9218	.9380
.32	.3	.315	.45	.5	.9841	.9835	.9	1.462	.8994	.9375	.9646	.9378
.312	.308	.306	.5	.5	1.0130	1.0128	1	1.0051	.9998	.98718	.9880	.98727
.312	.308	.314	.5	.5	.9872	.9872	1	1.029	1.000	.9871	.9860	.9872



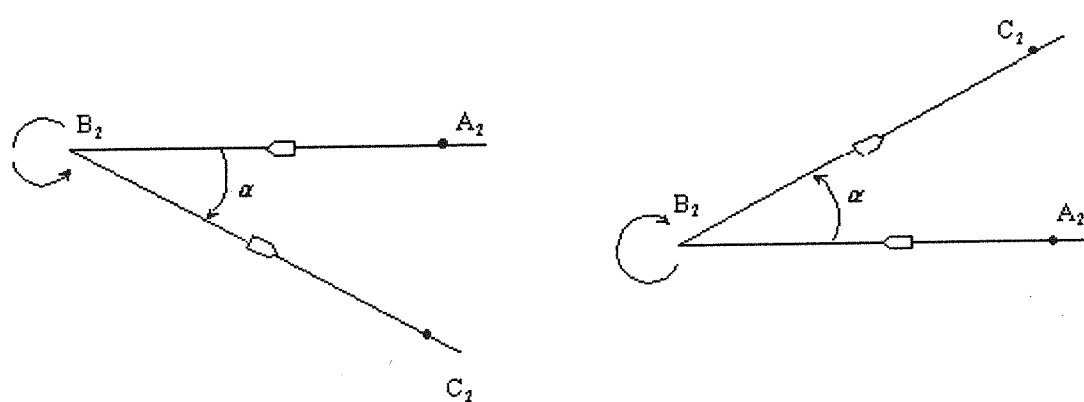
شکل(۱) نمایش مسیر های طی شده با توجه به خطاهای  $E_b$  و  $E_d$  (روش UMBmark)



ب -  $\beta < 0$  برای حالت  $E_d < 1$

الف -  $\beta > 0$  برای حالت  $E_d > 1$

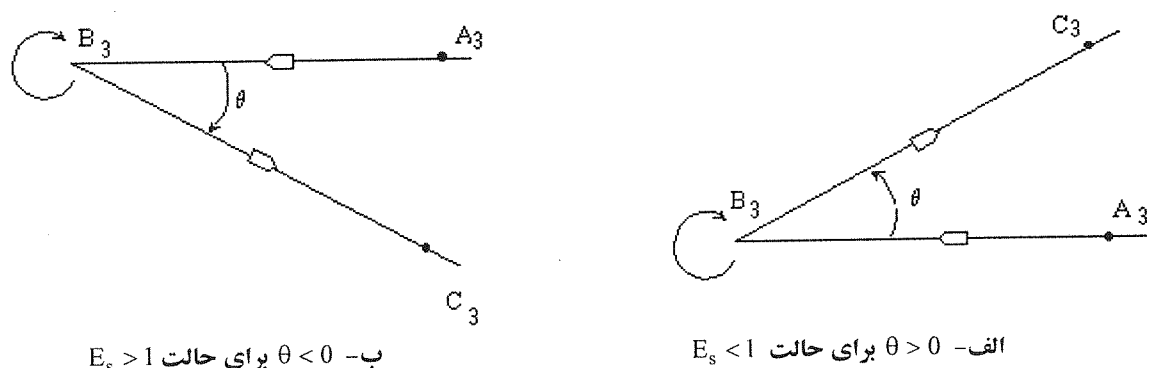
شکل (۲) اثر  $E_d$  بر مسیر رفت و برگشت با فرض  $E_s = E_b = 1$



ب -  $\alpha < 0$  برای حالت  $E_b < 1$

الف -  $\alpha > 0$  برای حالت  $E_b > 1$

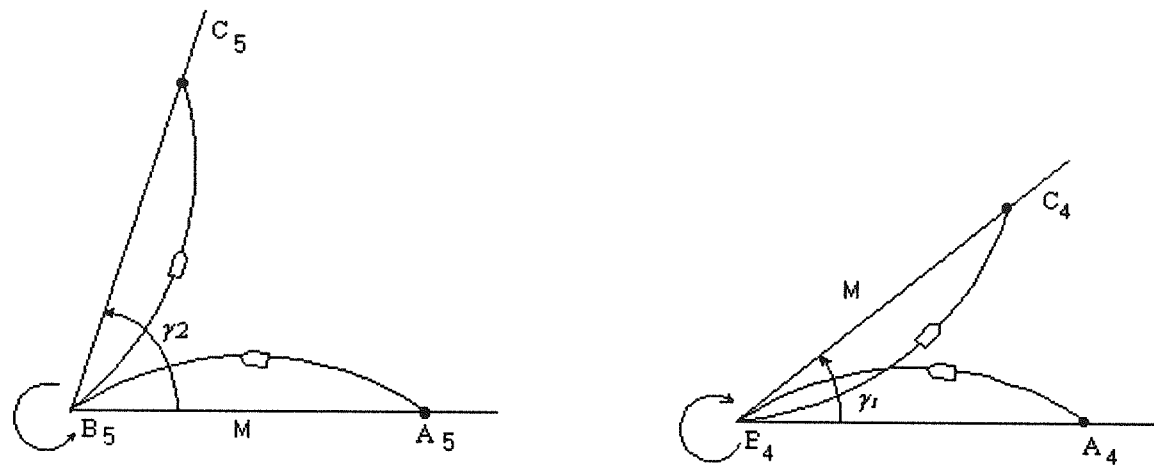
شکل (۳) اثر  $E_b$  بر مسیر رفت و برگشت با فرض  $E_s = E_d = 1$



ب -  $\theta < 0$  برای حالت  $E_s > 1$

الف -  $\theta > 0$  برای حالت  $E_s < 1$

شکل (۴) اثر  $E_s$  بر مسیر رفت و برگشت با فرض  $E_b = E_d = 1$ .



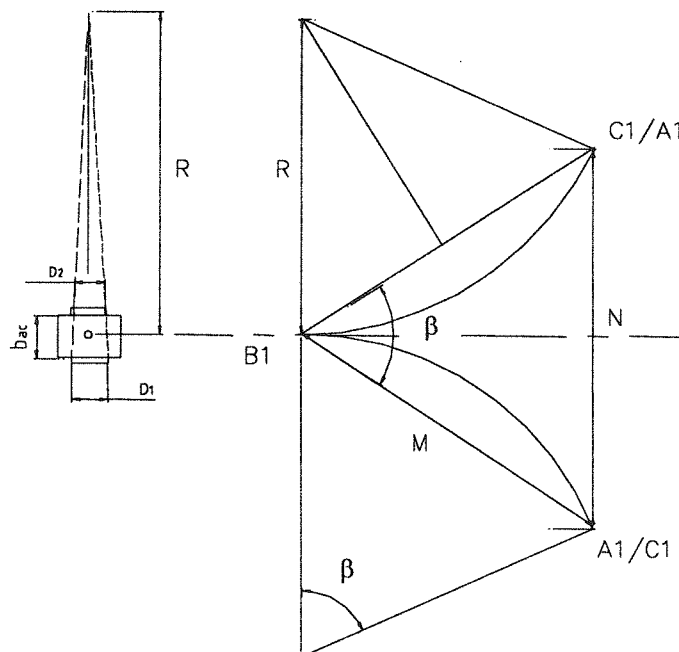
ب- رفت و برگشت و دور زدن در

خلف جهت عقربه های ساعت

شکل (۵) نمونه مسیر رفت و برگشت در دوآزمایش پیشنهادی برای رباتی با  $E_s < 1$ ,  $E_b < 1$ ,  $E_d > 1$  و  $E_{ba} < 1$

الف- رفت و برگشت و دور زدن

در جهت عقربه های ساعت



شکل (۶) نمایش روابط حاکم بین  $E_d$  و  $\beta$  و رابطه بین  $D_R$  و  $D_{ba}$ .

## مراجع

- [1] Borenstein, J. Feng, L. "Correction of Systematic Odometry Errors in Mobile Robots" 1995, IEEE
- [2] Borenstein, J. Feng, L. "UMBmark: A Benchmark Test for Measuring Odometry Errors in Mobile Robots", SPIE Conference on Mobile Robots, Philadelphia, Oct. 1995
- [3] Borenstein, J. Feng, L. "Measurement and Correction of Systematic Odometry Errors in Mobile Robots" IEEE Transactions on Robotics and Automation, Vol. 12, No 5, Oct 1996